



Popayán, 24 de abril de 2026

## Actividad volcánica del segmento central de Colombia

Del seguimiento de la actividad volcánica durante el mes de marzo, el **Servicio Geológico Colombiano (SGC)**, entidad adscrita al **Ministerio de Minas y Energía**, presenta el informe de la actividad de las estructuras volcánicas que conforman este segmento del país:



La red de estaciones sismológicas del **volcán Nevado del Huila (VNH)** detectó un total de 2780 eventos sísmicos durante el periodo comprendido entre el 1 y el 31 de marzo de 2026, de los cuales 792 estuvieron relacionados con fracturamiento de roca (tipo VT), dentro de los cuales 34 correspondieron a eventos híbridos

(tipo HB), es decir, su mecanismo de generación es compuesto. Los 1988 eventos restantes se relacionaron exclusivamente con la dinámica de fluidos en los conductos volcánicos, distribuidos en 1902 sismos de largo periodo (tipo LP) y 86 como pulsos de tremor de baja energía (tipo TR). En los últimos seis meses se ha observado un incremento en el número de eventos sísmicos, predominando aquellos de tipo LP (Figura 1a y b). No obstante, estas variaciones se mantienen dentro de niveles considerados como bajos y, por el momento, no comprometen la estabilidad del volcán.



# Boletín mensual

La energía sísmica liberada por los eventos tipo VT evidenció un incremento súbito de corta duración, asociado a la ocurrencia de un sismo relevante el día 3 de marzo. Posterior a este episodio, los niveles de energía retornaron a valores bajos, sin variaciones significativas.

Por su parte, la energía asociada a los eventos de tipo fluido (LP) ha mostrado un incremento leve y progresivo durante los últimos seis meses, tendencia que se mantuvo a lo largo de todo el periodo evaluado (Figura 1c).

En el mes de marzo fue posible localizar 35 eventos tipo VT, los cuales tuvieron magnitudes, en su mayoría bajas, con un valor promedio cercano a 1 (Figura 1d). Se destaca el sismo registrado el 3 de marzo a las 7:38 a. m., el cual alcanzó una magnitud de 3,8  $M_L$ , motivando la emisión de un [Boletín de evento sísmico](#) por parte del Servicio Geológico Colombiano.

La distribución espacial de las localizaciones obtenidas no evidenció variaciones significativas en las principales fuentes sismogénicas activas durante el último año, las cuales corresponden a los sectores nororiente, suroccidente y Pico Central (Figura 2a). En cuanto a la temporalidad de las localizaciones, fue mayor el número durante la segunda mitad del mes y, en su mayoría, estuvieron a distancias mayores a 7 km del Pico Central del volcán (Figura 2b), es decir, que predominó la actividad de fractura en las fuentes sismogénicas distales.

La red de monitoreo de deformación del suelo del volcán Nevado del Huila no registró variaciones que indiquen la ocurrencia de un proceso deformativo. Tanto el inclinómetro electrónico como la estación GNSS Caloto mostraron un comportamiento estable en las tendencias de sus datos (Figura 3a y Figura 3b).

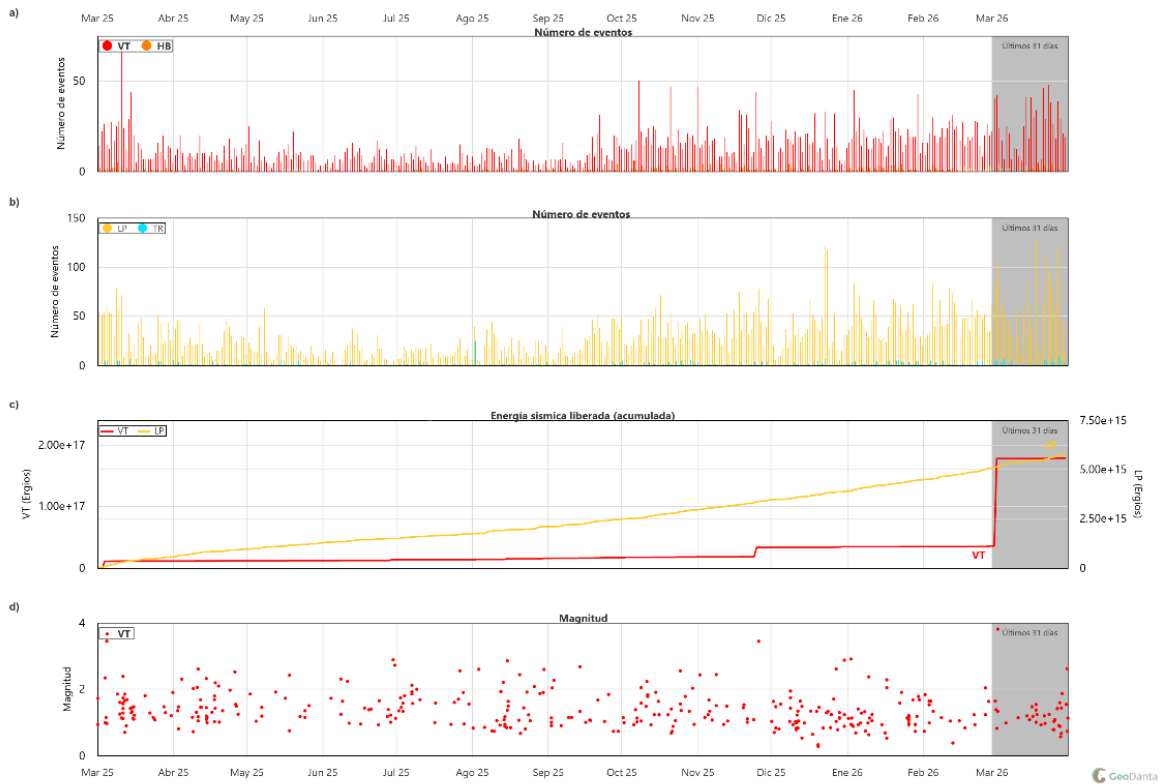


Figura 1. a) Número de VT y HB por día. b) Número de LP y TR por día. c) Energía sísmica liberada diaria, evaluada de forma acumulada. d) Magnitud de eventos VT localizados. Serie temporal del 1 de marzo de 2025 al 31 de marzo de 2026 El recuadro gris resalta el mes evaluado

A partir del monitoreo satelital se registraron emisiones de  $\text{SO}_2$  durante el mes de marzo, con radios de dispersión entre 25 y 50 km, predominantemente hacia los sectores noroccidente y occidente respecto a la cima del volcán Nevado del Huila. Estas emisiones presentaron valores bajos de masa y concentración, con máximos de hasta 0,01 kt y una unidad Dobson (DU), respectivamente (Figura 4).



# Boletín mensual

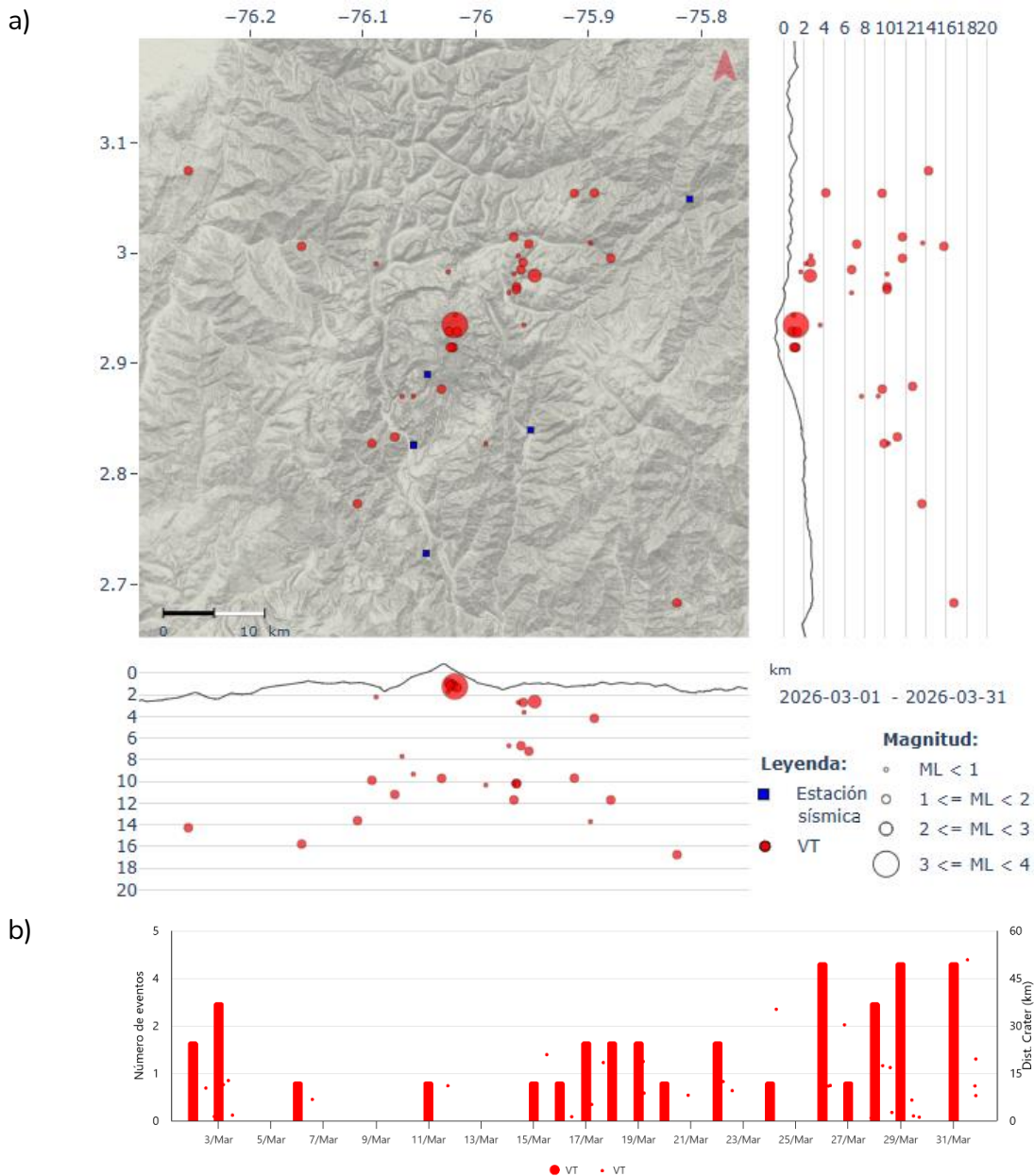


Figura 2. Localización de sismos VT ocurridos durante el mes de marzo de 2026 en el VNH. Los círculos indican las localizaciones epicentrales e hipocentrales, cuyos tamaños varían según la magnitud. Los cuadros azules representan las estaciones sísmicas.

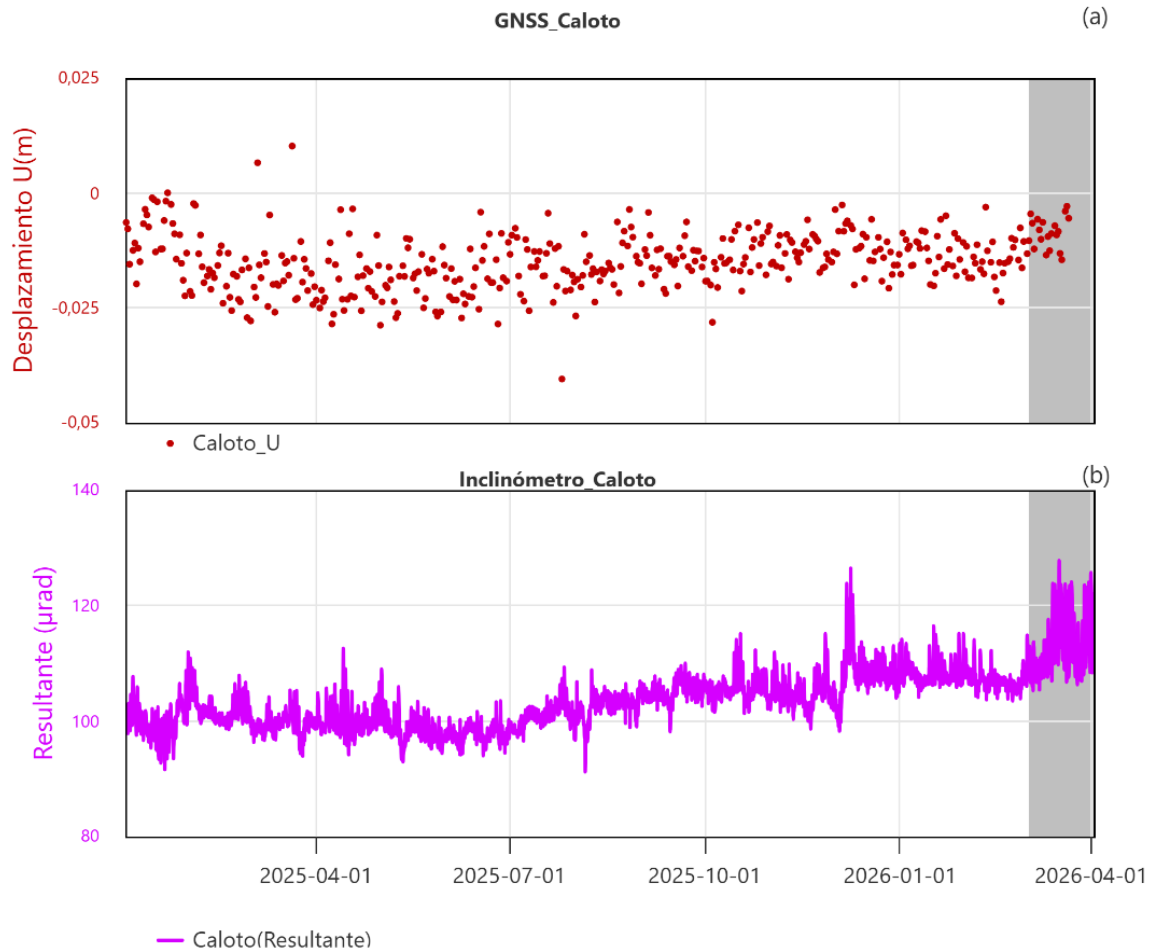


Figura 3. a) Serie temporal de la componente vertical de la estación GNSS permanente Caloto. b) Serie temporal de la resultante del inclinómetro Caloto entre el 1 de enero de 2025 y el 31 de marzo de 2026

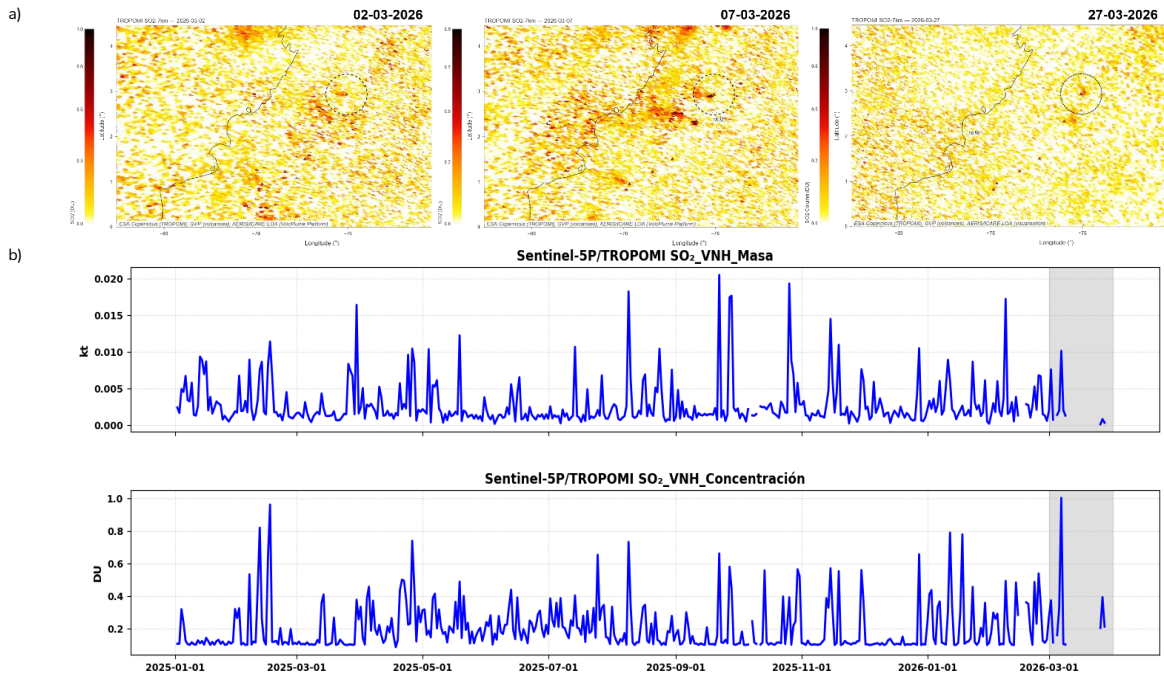


Figura 4. Registro de monitoreo satelital de SO<sub>2</sub> volcán Nevado del Huila – TROPOMI\_Sentinel-5P. a) Imágenes satelitales de detección de SO<sub>2</sub>. b) Masa y concentración de las emisiones de SO<sub>2</sub> con relación a las imágenes satelitales.

Durante el mes de marzo, se obtuvo buena línea de vista al edificio volcánico gracias a las buenas condiciones hidroclimáticas, donde fue posible evidenciar a través de las cámaras web algunas emisiones desde la superficie del cuerpo dómico y desde el sistema de grietas que recorren y atraviesan en sentido norte - suroccidente el Pico Central del volcán Nevado del Huila.

Los gases emitidos se dispersaron preferencialmente hacia el occidente - oriente del edificio volcánico, siguiendo algunas corrientes de vientos dominantes en la zona. El Modelo pronóstico WRF (Weather Research and Forecasting) implementado por el IDEAM, reportó unos picos con velocidades máximas diarias hasta de 14,7 m/s, equivalentes a 53,1 km/h, conservando un promedio de 4,86 m/s equivalentes a 17,4 Km/h para un estrato de 18 000 ft (5486 msnm) y un máximo de 3,0 m/s, equivalentes a 11 km/h, con un promedio de 1,2 m/s equivalentes a 4,4 km/h para un estrato de 10 000 ft (3048 msnm). De acuerdo



# Boletín mensual

con la línea base las velocidades reportadas para este periodo, se consideran normales para este volcán. Ver Figura 5.

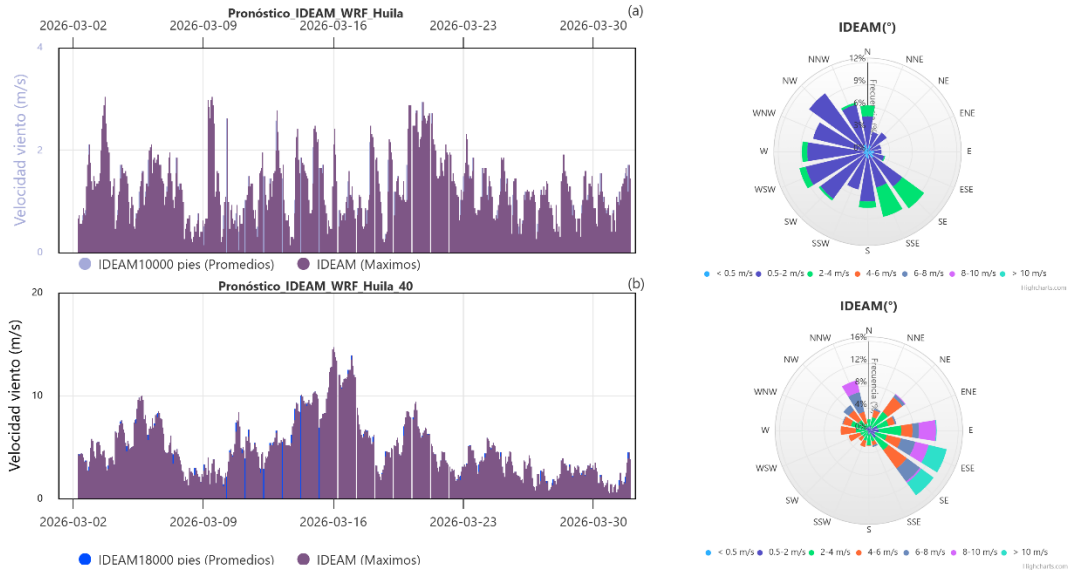


Figura 5. Modelo pronostico WRF- IDEAM volcán Nevado del Huila, marzo de 2026

En el monitoreo de la actividad superficial realizado a través de las cámaras web Caloto, Maravillas y La Palma, no fueron detectados cambios morfológicos relacionados con la actividad volcánica. Algunas imágenes durante el mes se comparten a continuación. (Figura 6).



Figura 6. Imágenes de la desgasificación en el volcán Nevado del Huila obtenidas por las cámaras web La Palma, Caloto, y Maravillas marzo de 2026

Por lo anterior, el nivel de actividad del **volcán Nevado del Huila** continúa en estado de **ALERTA AMARILLA**  (o III): volcán activo con cambios en el comportamiento del nivel base de los parámetros monitoreados y otras manifestaciones.



# Boletín mensual



Durante el mes de marzo de 2026 la actividad del **volcán Puracé - cadena volcánica Los Coconucos (VP - CVLC)** presentó valores similares al mes anterior en varios de los parámetros monitoreados.

Respecto de la actividad sísmica registrada se mantuvo un alto registro de eventos sísmicos, manteniéndose el predominio de los procesos de fluidos dentro de la dinámica volcánica, sobre aquellos

relacionados con procesos de fracturamiento de roca, adicionalmente se registraron dos (2) emisiones de ceniza y se mantiene el número de eventos asociados con fluidos con contenido frecuencial cercano a 1 Hz (tipo BF) respecto a los meses anteriores. En total, se registraron 5824 eventos sísmicos, de los cuales 373 estuvieron relacionados con procesos de fracturamiento de roca (tipo VT) y 5167 con la dinámica de fluidos en los conductos volcánicos, de estos, 3788 se clasificaron como sismos de largo periodo (tipo LP), 472 como baja frecuencia (tipo BF), 907 como pulsos de tremor (tipo TR) y 284 mostraron características tanto de fractura como de fluidos, siendo clasificados como híbridos (tipo HB).

Respecto de la actividad tipo HB y VT no se registraron aumentos importantes en número, energía, ni magnitudes calculadas, las cuales permanecen dentro de lo observado el último año, como se puede apreciar en las gráficas a, b y c de la Figura 7.

Por otra parte, se registró una tendencia similar en el número de eventos asociados a la dinámica de fluidos (Figura 7c, d y e) lo cual se ve reflejado en la pendiente de la energía acumulada, a pesar del incremento en número de eventos catalogados como tipo BF respecto de diciembre de 2025. Además, el tremor continuo se observó desde el 9 de marzo con amplitudes bajas (Figura 8).

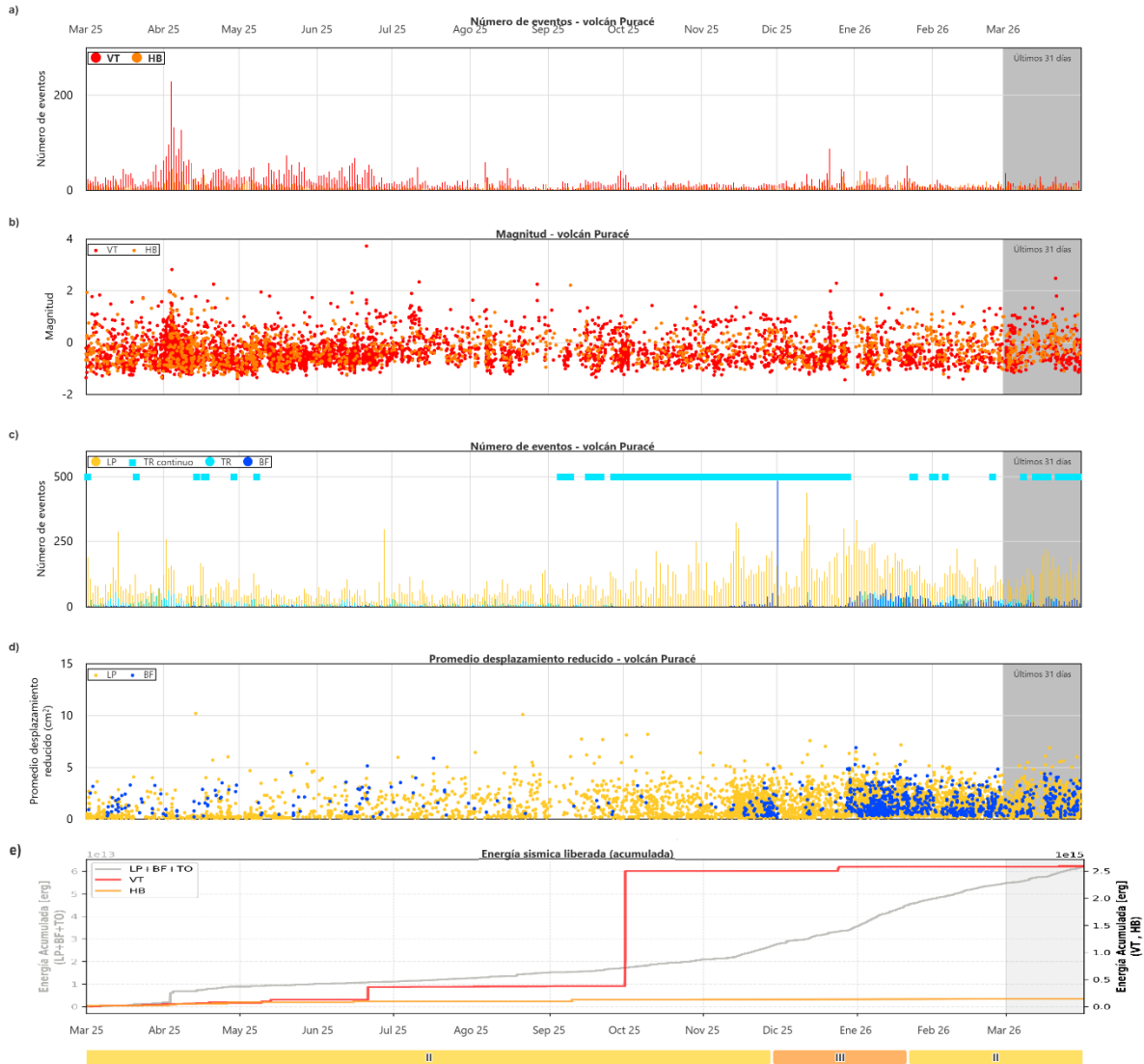


Figura 7. Serie temporal entre el 1 de marzo de 2025 y el 31 de marzo de 2026. a) Número de sismos VT diarios. b) Magnitudes ML calculadas para sismos VT. c) Número de sismos diarios asociados con dinámica de fluidos. d) Desplazamiento reducido de los eventos de fluidos (cm<sup>2</sup>). e) Energía sísmica acumulada para eventos VT, fluidos (LP+BF+TO+NC) y HB. La región sombreada destaca el periodo evaluado

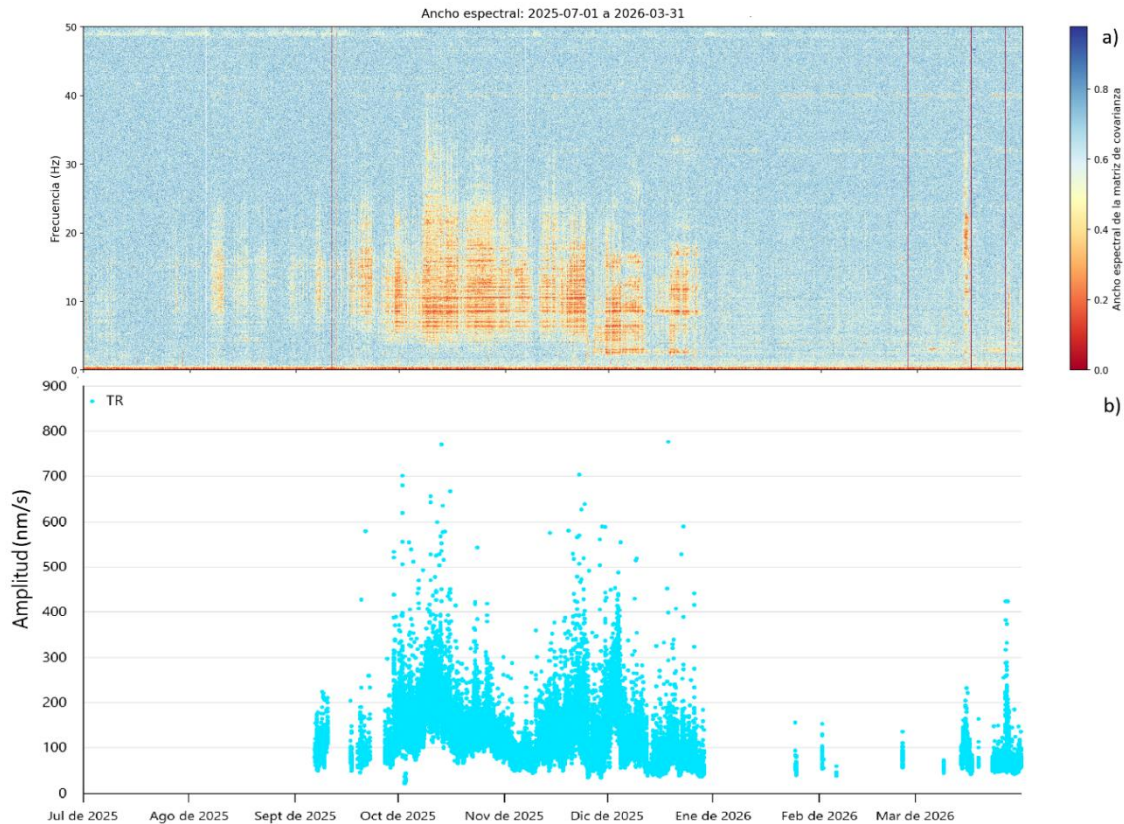
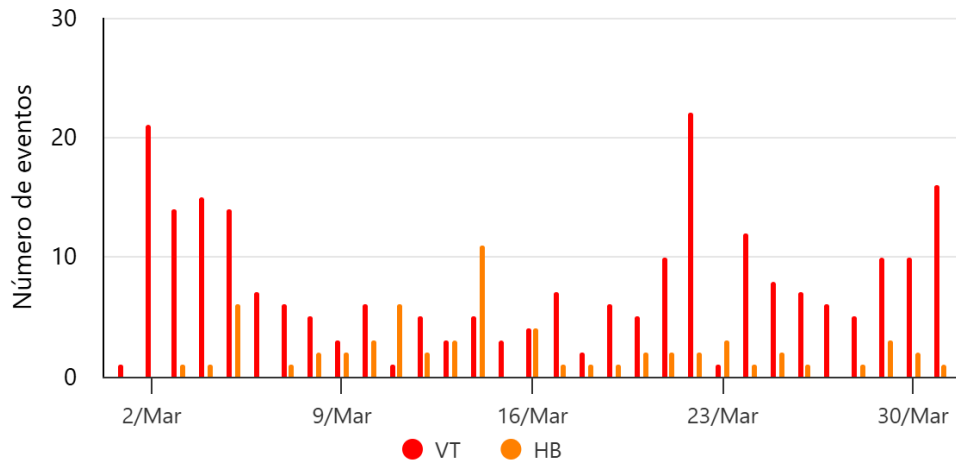
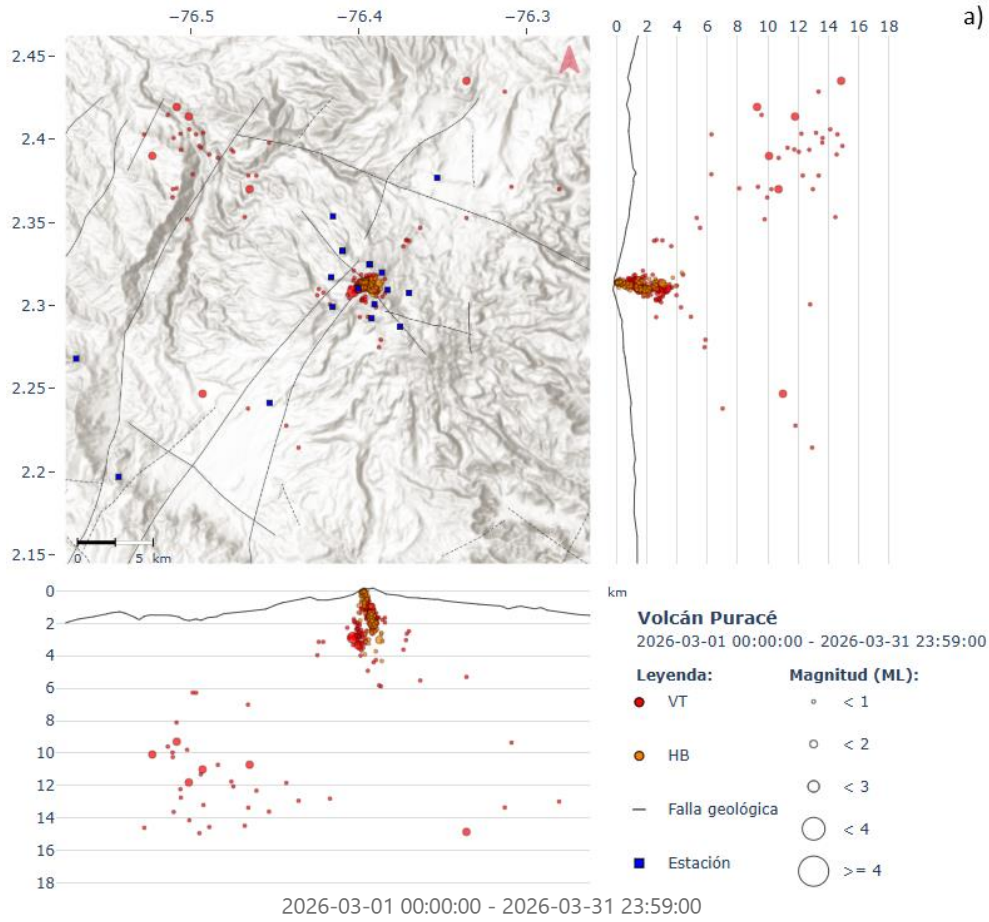


Figura 8. Registro de tremor continuo entre julio de 2025 y marzo de 2026. a) Ancho espectral de la matriz de covarianza entre las componentes verticales de las estaciones sísmicas de Agua Blanca, Cónдор y Cocuy. b) Amplitud del tremor continuo medido en la componente vertical de la estación Agua Blanca

Los eventos de fractura se localizaron en las fuentes usualmente observadas, siendo las de mayor actividad las ubicadas bajo los volcanes Puracé y Píocollo en un rango de profundidad entre 0,5 y 3 km, con una geometría subvertical y magnitudes inferiores a  $1,3 M_L$  y al occidente de estos volcanes a profundidades entre 1,5 y 4 km y magnitudes menores o iguales a  $2,5 M_L$  (Figura 9a). Mientras que las localizaciones obtenidas para los eventos de fluidos se concentraron bajo la parte occidental del cráter del volcán Puracé a profundidades entre 0 y 1 km (Figura 9b). También se obtuvo la localización del tremor continuo para los días 15 y 27 de marzo (Figura 10a), ubicándose bajo suroccidente del volcán Píocollo a una profundidad de 0,8 km (Figura 10b) y bajo el cráter del volcán Curiquinga a 0,5 km (Figura 10b) respectivamente.



# Boletín mensual





# Boletín mensual

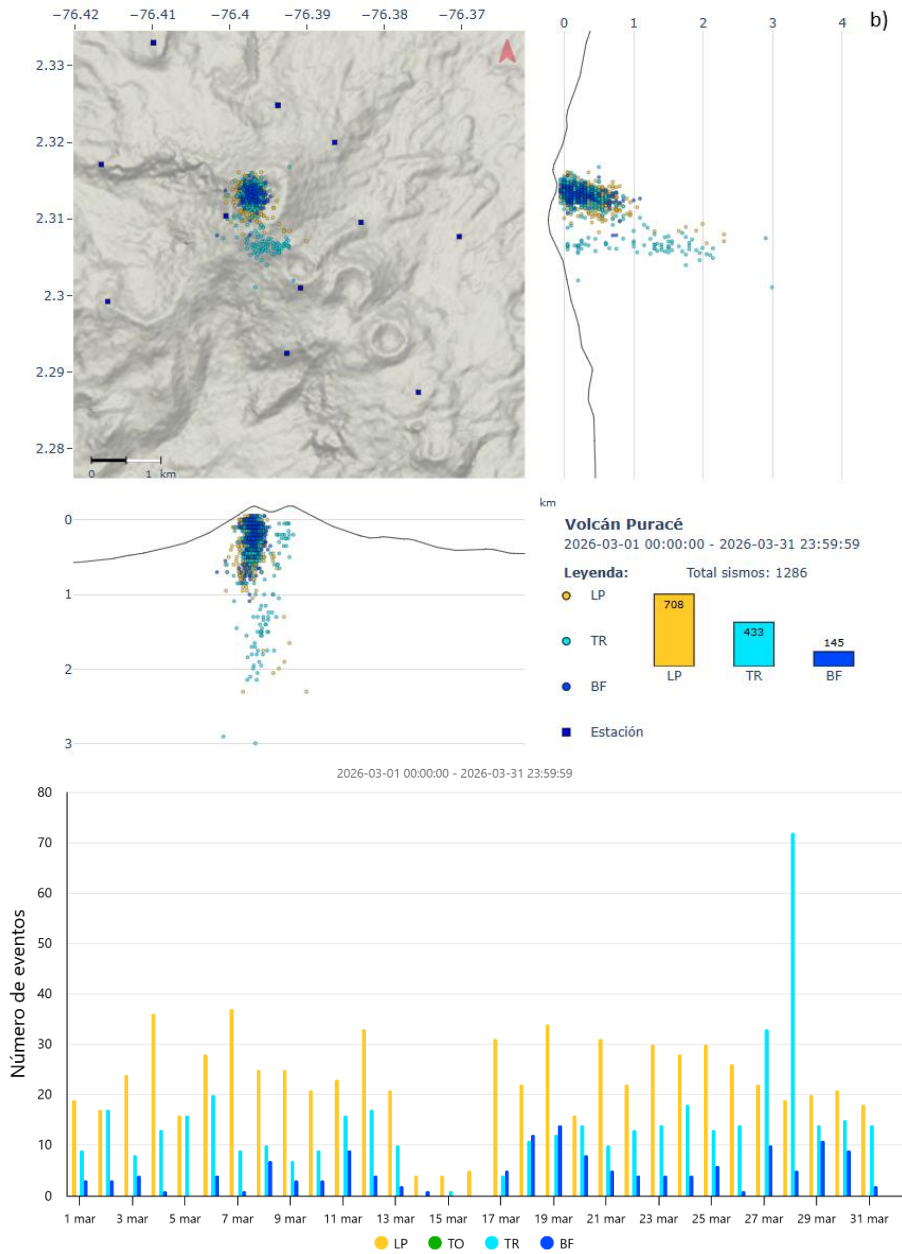
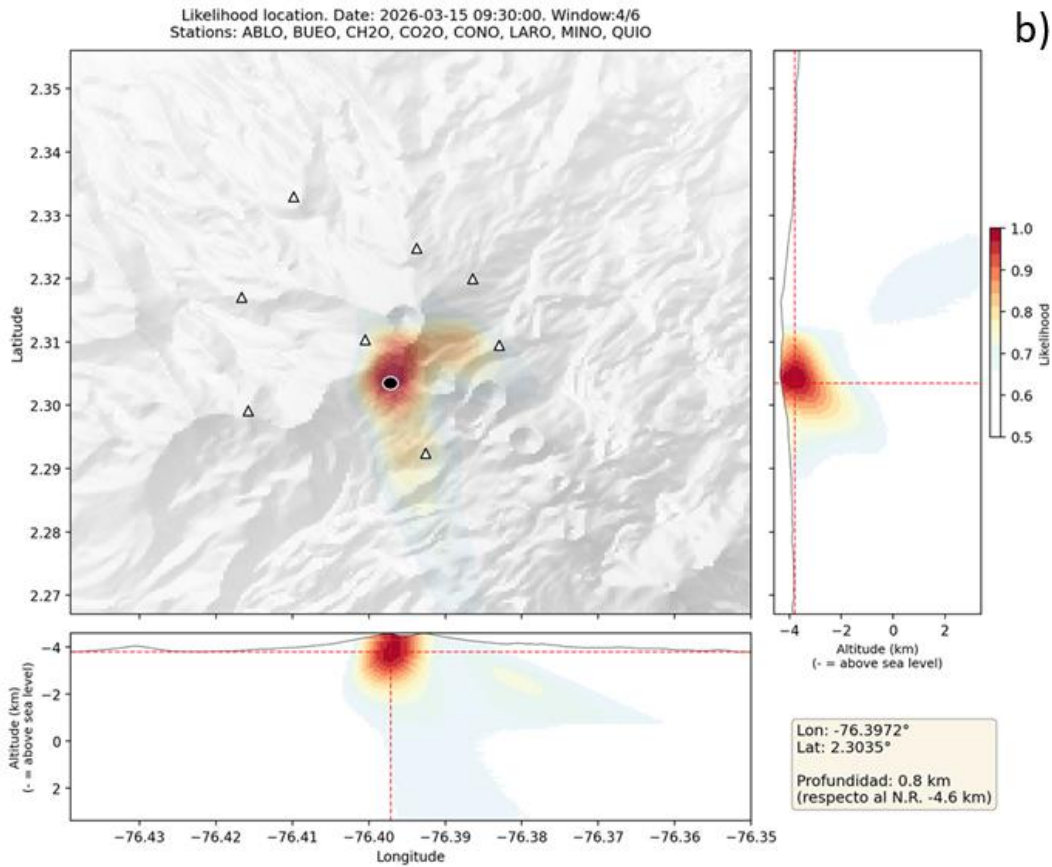
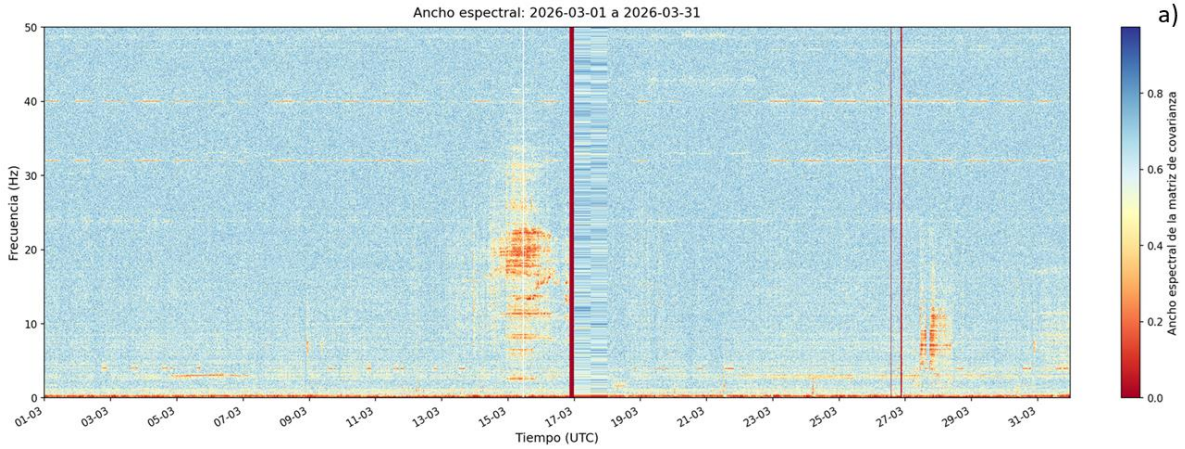


Figura 9. Mapa de localización de la sismicidad registrada en marzo de 2026 en la CVLC - VP. a) Sismicidad de fractura (VT y HB). b) Sismicidad asociada con el tránsito de fluidos (LP, TO, TR y BF). Los círculos indican las localizaciones epicentrales e hipocentrales, cuyos tamaños varían según la magnitud calculada y los cuadros azules representan las estaciones sísmicas.



# Boletín mensual



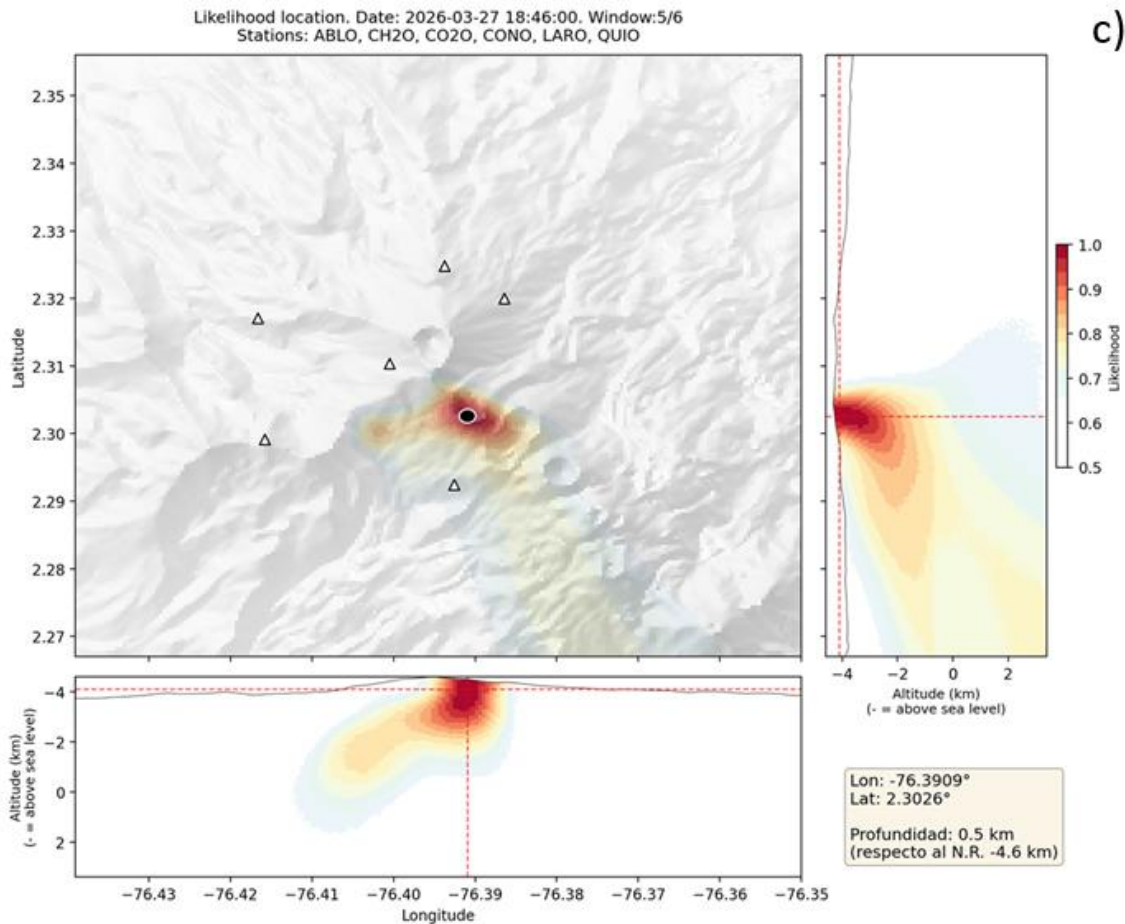


Figura 10. Tremor continuo y su localización: a) ancho espectral de la matriz de covarianza con CovSeisNet entre en 1 y el 31 de marzo de 2026 ABLZ-COBZ-CO2Z, b) localización del tremor continuo del 15 de marzo a las 09:30 UT y c) localización del tremor continuo del 27 de marzo a las 18:46 UT

En cuanto al seguimiento del proceso de deformación del suelo, el monitoreo realizado a través de la red de estaciones GNSS (Sistema Global de Navegación por Satélite) continuó evidenciando un proceso de deformación en la parte alta de la CVLC, con desplazamientos concentrados entre los volcanes Puracé, Piocollo y Curiquinga (Figura 11). Durante el periodo evaluado, las velocidades verticales continuaron evidenciando una tendencia ascendente que se mantiene desde finales del segundo semestre del año 2025 (Figura 12), lo que sugiere un proceso inflacionario en este sector.

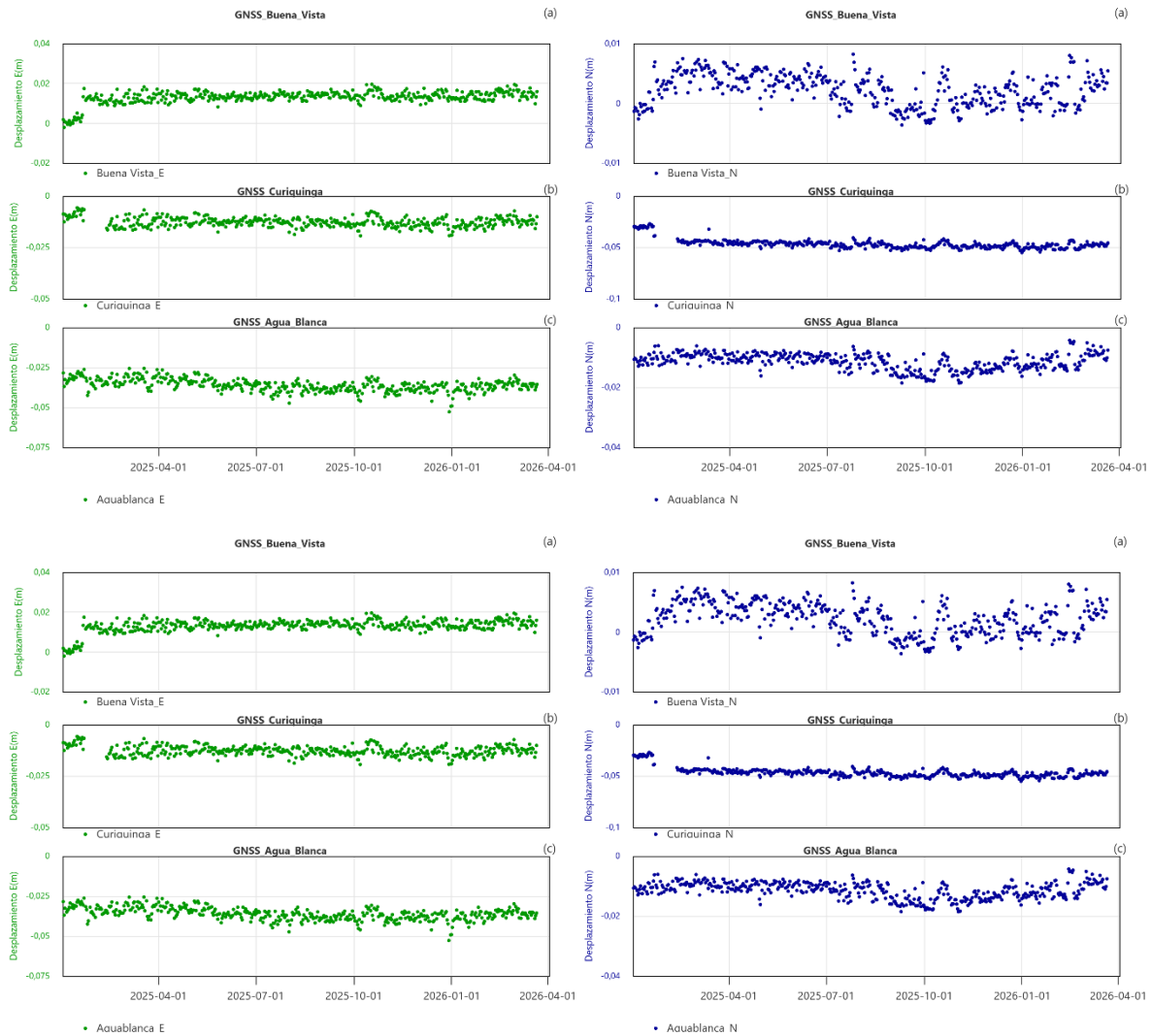


Figura 11. A la izquierda, series temporales de la componente Este de las estaciones: a) Buena Vista, b) Curiquinga y c) Agua Blanca. A la derecha, series temporales de la componente Norte de las mismas estaciones. El período de análisis abarca del 1 de enero de 2025 al 31 de marzo de 2026

En la Figura 13 se presentan los datos del inclinómetro de Guañarita, las componentes Este y Norte no muestran variaciones significativas en su tendencia, observándose únicamente fluctuaciones cíclicas asociadas a cambios de temperatura.

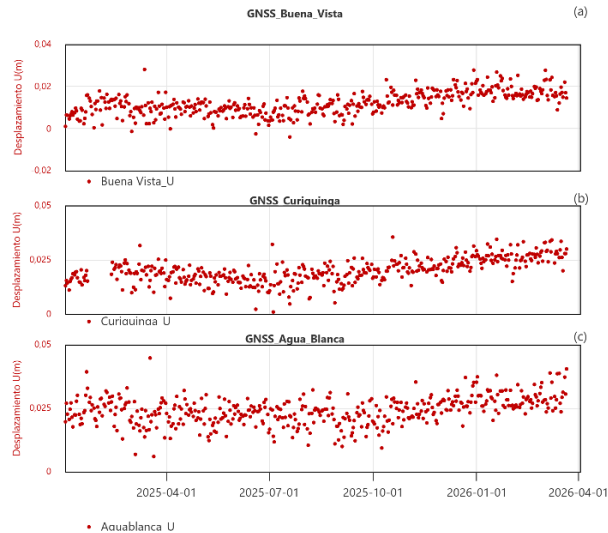


Figura 12. Series temporales de la componente Vertical de las estaciones: a) Buena Vista, b) Curiquina y c) Agua Blanca. El período de análisis abarca del 1 de enero de 2025 al 31 de marzo de 2026

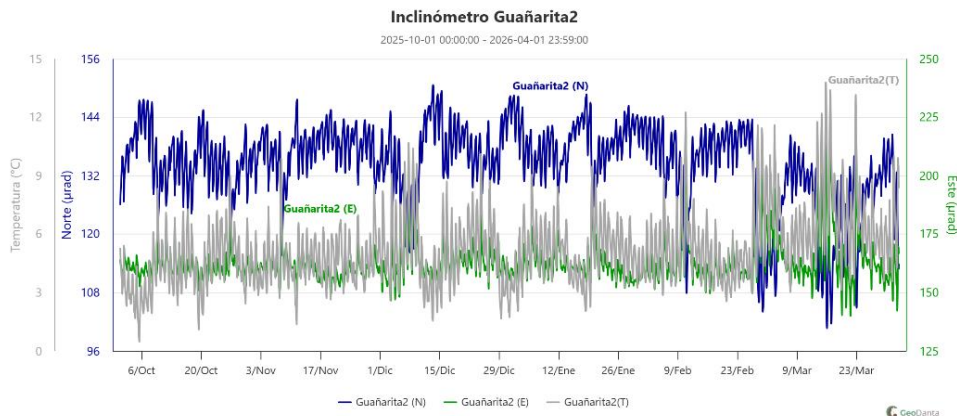


Figura 13. Serie temporal de la componente Este, Norte y Temperatura del inclinómetro Guañarita. El período de análisis abarca del 1 de octubre de 2025 al 31 de marzo de 2026

Los datos satelitales procesados mediante la técnica de Interferometría Diferencial de Radar de Apertura Sintética (DInSAR-SBAS) se presentan en la Figura 14. Se generaron dos series de tiempo: la primera corresponde a un sector ubicado al oriente del cráter del



volcán Puracé, donde se ha registrado el mayor desplazamiento acumulado total (11,5 cm); la segunda corresponde a la zona al interior del cráter del volcán Puracé, durante el mes de marzo, en este sector donde previamente se había registrado un aumento en la velocidad de deformación, se continúa observando una desaceleración de este proceso.

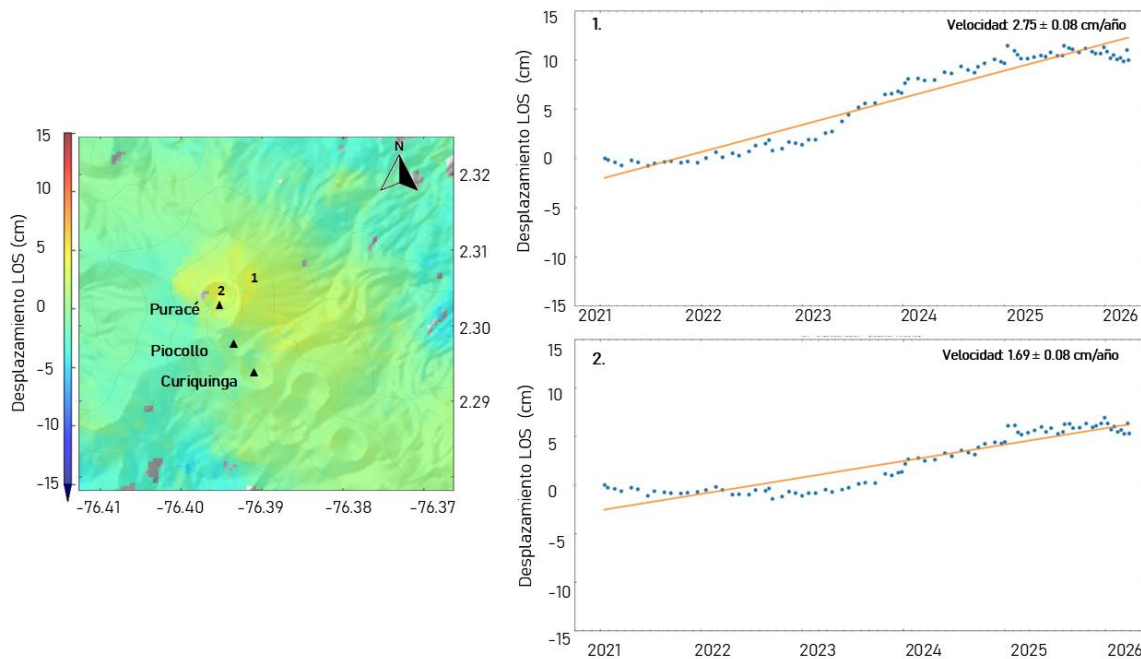


Figura 14. Derecha: serie temporal DInSAR-SBAS para el periodo del 17 de enero del 2021 al 28 de marzo de 2026. Izquierda: Mapa de desplazamientos acumulados para los sectores 1 y 2. Nota: Como referencia se ha empleado la imagen SAR del 27 de diciembre de 2023

En cuanto al monitoreo geoquímico satelital realizado en el mes de marzo en la región de la CVLC, se observó que las emisiones de dióxido de azufre ( $\text{SO}_2$ ) se caracterizaron por presentar niveles bajos (Figura 15a). Esto podría estar relacionado con una relajación temporal del sistema tras la actividad registrada en diciembre de 2025. Los valores máximos de masa emitida y concentración de este gas fueron de 0,300 kilotoneladas (kt) y 0,9 Unidades Dobson (DU), respectivamente. Aunque esta tendencia muestra una menor liberación de  $\text{SO}_2$  a la atmósfera en el corto plazo, es importante resaltar que los niveles actuales aún se encuentran por encima de la línea base registrada durante el año 2024 (Figura 15b).



A través del monitoreo telemétrico de CO<sub>2</sub> y gas radón se evidencia que no hay variaciones significativas durante el periodo evaluado, los valores estuvieron dentro de lo registrado en meses anteriores (Figura 16).

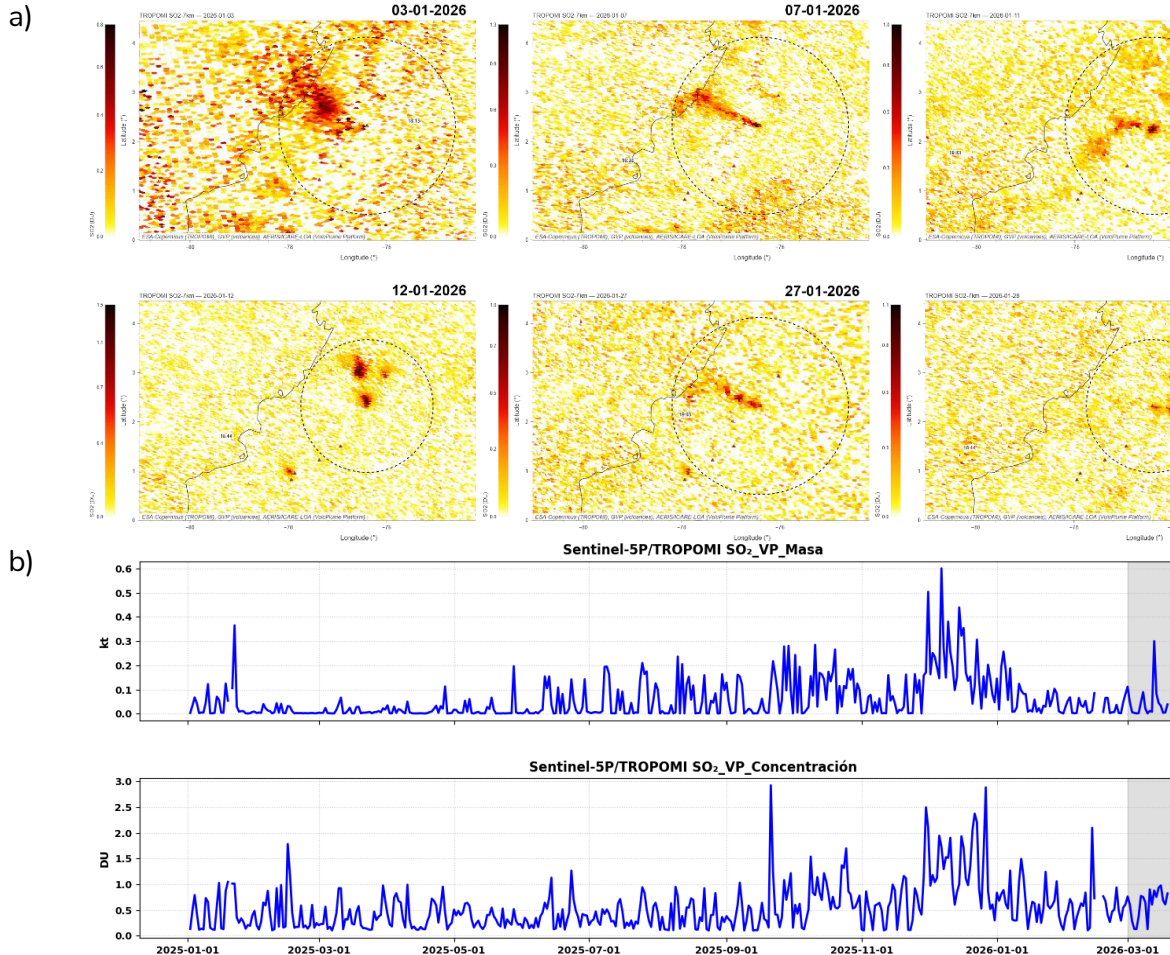


Figura 15. Registro de detección satelital a) SO<sub>2</sub> Volcán Puracé-CVLC – TROPOMI\_Sentinel-5P, b) masa emitida y concentración de SO<sub>2</sub> en el volcán Puracé-CVLC desde el 1 de enero de 2025 hasta el 31 de marzo de 2026

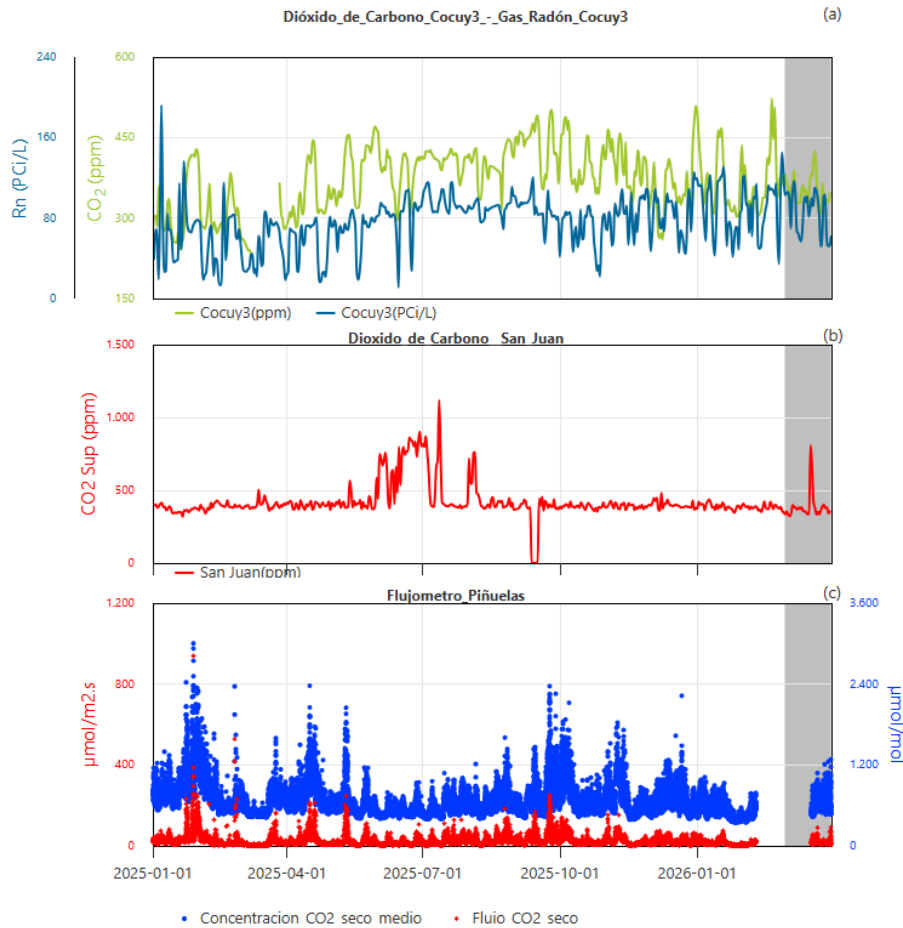


Figura 16. Registro de emisiones de gas radón y CO<sub>2</sub> en el volcán Puracé-CVLC desde el 1 de enero de 2025 hasta el 31 de marzo de 2026

La dispersión de la ceniza y los gases emitidos estuvieron condicionados por la acción del viento entre estratos de 10 000 ft y 18 000 ft de altura (3048 – 5486 m s. n. m.) que se dirigió predominantemente en dirección occidente y suroriente durante este periodo, como se observa en la Figura 17, que presenta el histograma del modelo pronóstico a mesoescala WRF/IDEAM (Weather Research and Forecasting)

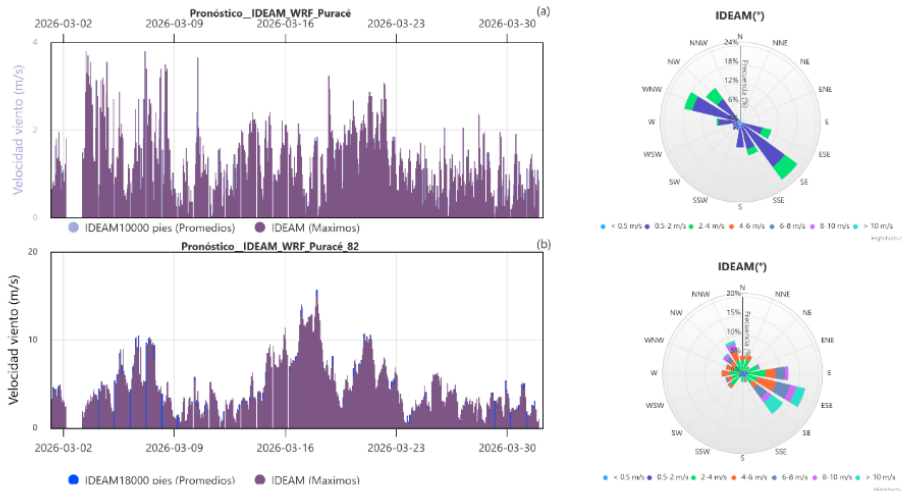


Figura 17. Velocidades diarias Modelo pronostico WRF- IDEAM, marzo de 2026

A través de la red de cámaras web, fue posible evidenciar procesos de desgasificación del sistema, caracterizado por emisiones y descarga de gas en forma de columnas densas de color blanco, que se emitieron desde el interior del cráter del volcán Puracé y que superaron alturas mayores a 800 metros sobre la cima del volcán, dispersándose preferencialmente hacia el occidente – suroriente del edificio volcánico (Figura 18). Durante el periodo evaluado se emitió una alerta dirigida a la Aeronáutica Civil - VONA (Volcano Observatory Notice for Aviation) asociada al registro de una señal sísmica (tremor de fondo bandeado – 15 de marzo) acompañado por la salida de ceniza. En la Figura 20. se presentan las alturas de las columnas de gases emitidas por el volcán Puracé. Adicionalmente, con las imágenes de cámaras web termográficas se evidencia la persistencia de manifestaciones superficiales de calor en el campo fumarólico del flanco norte del volcán Puracé, expresadas como anomalías térmicas claramente diferenciables del entorno (Figura 21). Evaluando estos datos con una metodología que permite calcular temperaturas aparentes a partir de valores de emisividad de materiales, se obtuvieron valores a nivel superficial del campo fumarólico entre 33 y 51 °C, y de las emisiones de gases 12 y 44 °C (Figura 22).

Durante este periodo el volcán Curiqinga, al igual que muchos volcanes de la Cadena volcánica Los Coconucos, han experimentado fuertes nevadas y fenómenos de "escarchado". Este fenómeno se produce por el transporte de lluvias, que, al llegar a las



altas cumbres o montañas, se convierten en precipitaciones sólidas, o nevadas temporales (nieve o escarcha) debido a las bajas temperaturas. A pesar de esta recarga, persiste la alta salida de gases a través de las grietas formadas en la pared norte del volcán Curiqinga (Figura 19).



Figura 18. Algunas emisiones de gas registradas desde las cámaras web de Mina2, PicoCollo y lavas Rojas, marzo de 2026.

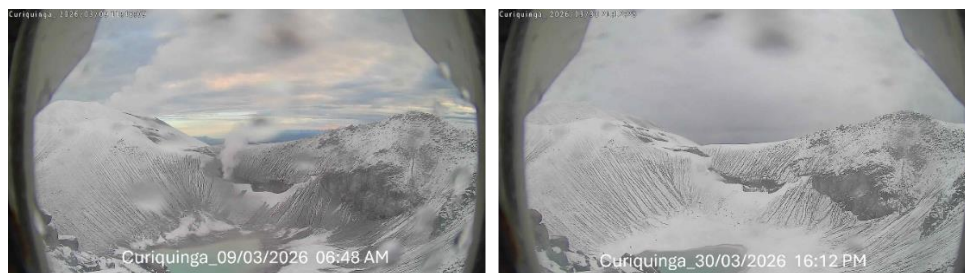


Figura 19. Imágenes cámara web Curiqinga, 9 y 30 de marzo de 2026

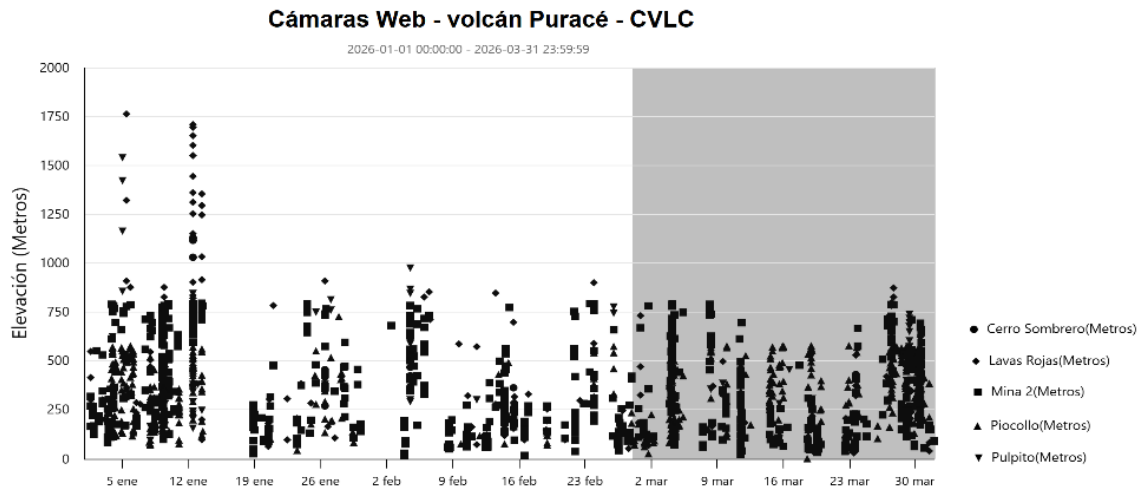


Figura 20. Estimaciones de la altura de la columna calculadas para el volcán Puracé – CVLC del 1 de enero al 31 de marzo de 2026

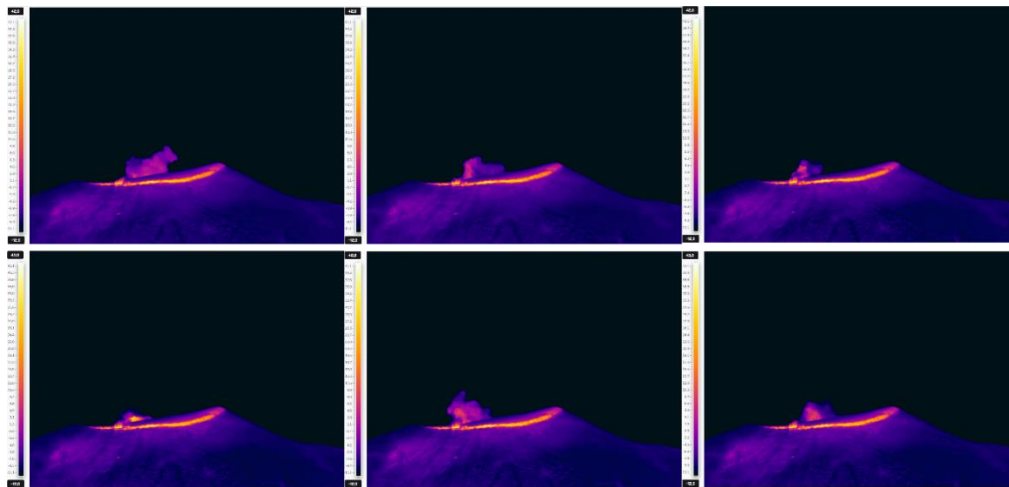


Figura 21. Registro termográfico de emisiones de gases del volcán Puracé del 15 de marzo entre las 4:56 y 5:29 a. m. La cámara está ubicada a 2,2 km al noroccidente del cráter del volcán Puracé



# Boletín mensual

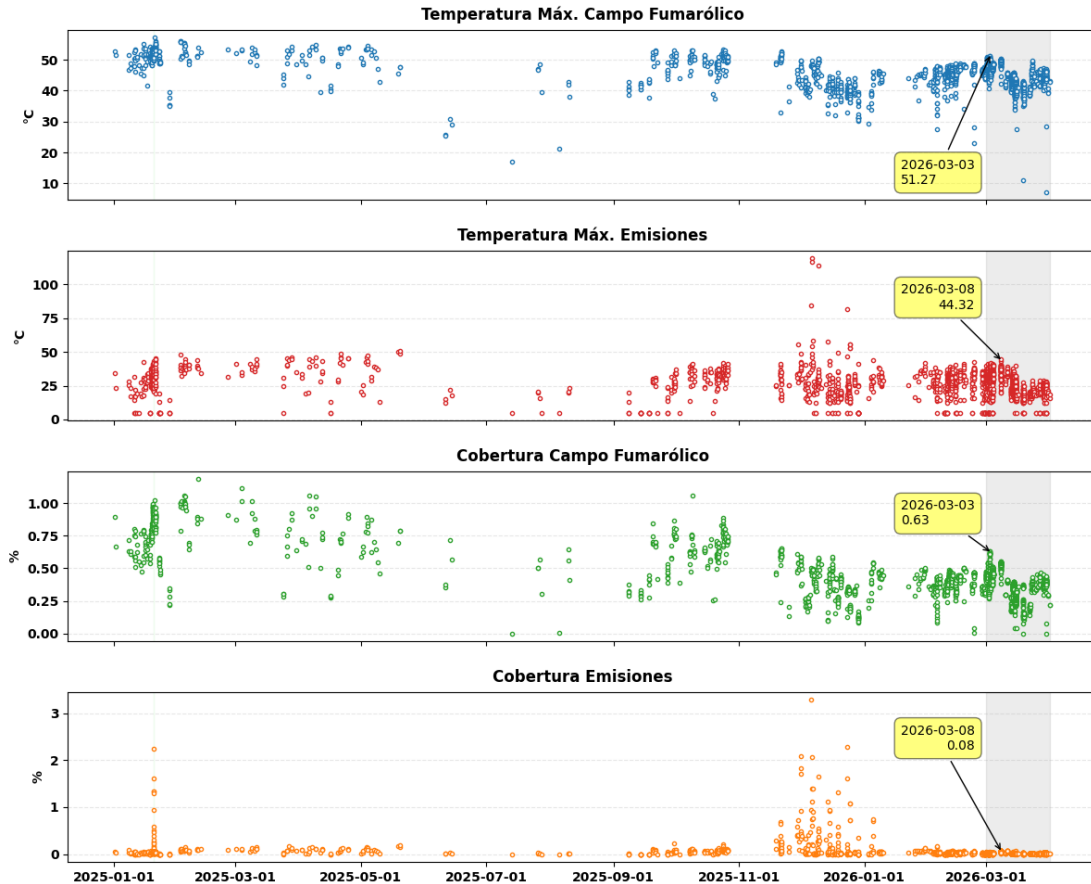


Figura 22. Registro del monitoreo térmico infrarrojo con la cámara Mina2IR a 2,2 km al noroeste del cráter del volcán Puracé. a) Temperatura máxima aparente medida en el campo fumarólico (emisividad  $\epsilon=0.9$ ). b) Temperatura máxima aparente medida en la nube de gases (emisividad  $\epsilon=0.6$ ) o gases y ceniza (emisividad  $\epsilon=0.9$ ). c) Porcentaje de píxeles sobre el campo fumarólico con temperaturas aparentes superiores a 20°C (emisividad  $\epsilon=0.9$ ). d) Porcentaje de píxeles con temperaturas aparentes superiores a 10°C (emisividad  $\epsilon=0.6$ ) durante las emisiones de gases y/o cenizas

Durante el mes de marzo de 2026, fue posible obtener el registro y cobertura del volcán Puracé y la cadena volcánica Los Coconucos a través del sistema satelital PlanetScope (PS), tomada el 22 de marzo de 2026 a las 15:31 UTC (Figura 23). En esta imagen fue posible reconocer la constante emisión de gases (color blanco) a través de los campos fumarólicos lateral y desde la grieta al interior del cráter del volcán Puracé. Sobre el borde



del cráter externo (noroccidente - occidente) del volcán Puracé es evidente la formación de un corredor o camino de alteración hidrotermal (Punto 1). Así mismo se evidencian zonas de acumulación de la ceniza sobre los edificios de Picoello y Curiquinga, con una orientación al nororiente, hacia el nacimiento del Rio Cocuy (Punto 2). Se detalla el sistema de grietas formadas sobre la pared norte del volcán Curiquinga durante la emisión del 29 de marzo de 2022. Además, se resalta la presencia de una laguna o espejo de agua con color azul intenso producto de su alteración hidrotermal y precipitación, acompañada por la presencia de una fumarola activa (Punto 3).

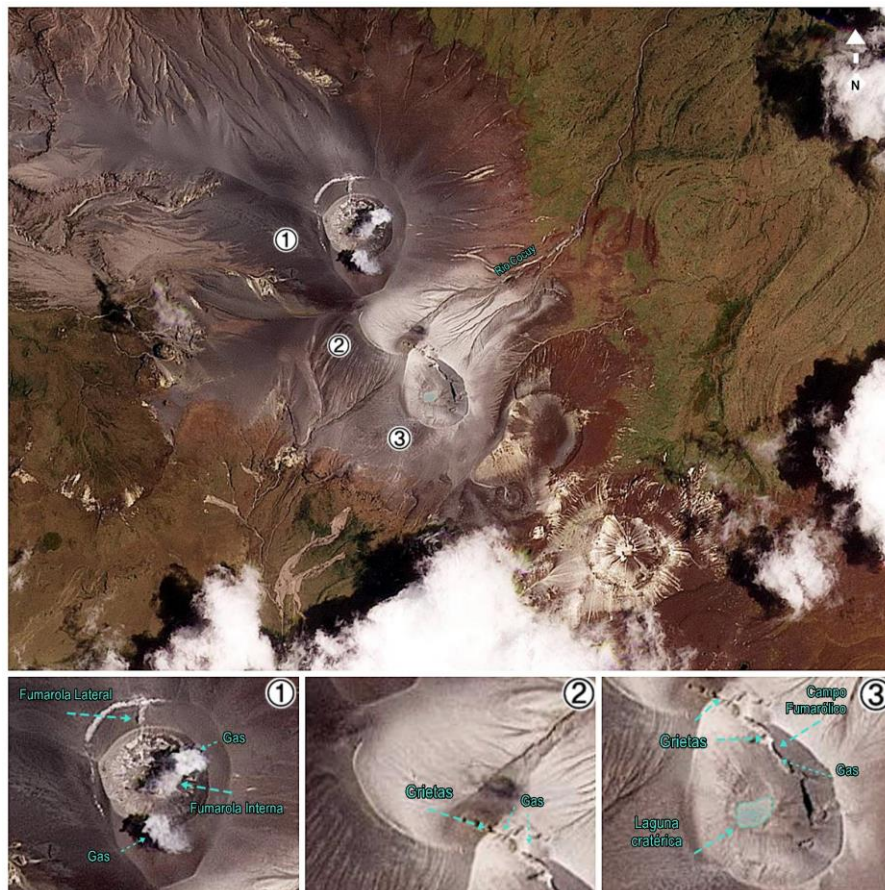



Figura 23. Imagen satelital del sensor PlanetScope del sector noroccidental de la Cadena volcánica Los Coconucos: volcán Puracé (Punto 1), volcán Picoello (Punto 2) y volcán Curiquinga (Punto 3). Tomada el 22 de marzo de 2026 a las 15:31 UTC



# Boletín mensual

Por lo anterior, el **volcán Puracé - CVLC** se encuentra en estado de **ALERTA AMARILLA**  **(o III)**: volcán activo con cambios en el comportamiento del nivel base de los parámetros monitoreados y otras manifestaciones. Es importante aclarar que, **aunque los parámetros monitoreados del volcán Puracé - cadena volcánica Los Coconucos tienden a la estabilidad**, en cualquier momento **este podría desestabilizarse rápidamente**, lo que conllevaría a retornar a un estado de alerta Naranja o, incluso, cambiar a Roja.



# Boletín mensual



Entre el 1 y el 31 de marzo de 2026 se registraron 56 eventos sísmicos en la zona de influencia del **volcán Sotará**, de los cuales 52 estuvieron relacionados con procesos de fracturamiento de roca (tipo VT) y cuatro (4) con la dinámica de fluidos en los conductos volcánicos (pulsos de tremor - TR).

La actividad sísmica registrada en el área de influencia del volcán Sotará durante el último año muestra una tendencia estable, tanto en el número de eventos sísmicos como en la energía liberada asociada (Figura 24a y Figura 24c). Los valores de magnitud calculados para los sismos de fractura localizados durante el periodo evaluado fueron menores o iguales a 0,8  $M_L$ , encontrándose dentro del promedio observado durante el último año de monitoreo (Figura 24b). Los pulsos de tremor asociados a la dinámica de los fluidos al interior del volcán tuvieron amplitudes consideradas bajas y similares a lo registrado durante los últimos seis meses (Figura 24d).

Durante el mes evaluado se localizaron 17 eventos sísmicos asociados con procesos de fracturamiento de roca (Figura 25), que se ubicaron preferencialmente bajo el borde occidental del edificio volcánico con profundidades entre 1 y 3 km. Además, se registraron eventos en una fuente sísmica ubicada hacia el sector nornoriente del volcán, a distancias entre 6 y 10 km, con profundidades que variaron de 6 a 16 km. Finalmente, se localizaron eventos sísmicos de forma aislada en regiones distales al edificio volcánico, con distancias de 10 a 21 km hacia el noroccidente, nororiente y sursuroccidente, con profundidades que variaron entre 5 y 7 km. Las fuentes sísmicas registradas durante el periodo evaluado se ubicaron en sectores con sismicidad asociada recurrentemente en el área de influencia del volcán Sotará durante el último año de monitoreo.



Todos los parámetros sísmicos descritos indican niveles bajos de actividad con pequeñas variaciones de carácter transitorio.



Figura 24. Series de tiempo para los parámetros sísmológicos analizados en el volcán Sotará entre el 1 de abril de 2025 y el 31 de marzo de 2026. a) Número de sismos registrados diariamente. b) Raíz del acumulado diario de la energía sísmica liberada por sismos VT. c) Magnitud local de los eventos VT localizados. d) Amplitud (nm/s) de sismos asociados con la dinámica de fluidos LP y TR. El periodo evaluado se encuentra sombreado con color gris

Durante el periodo evaluado, la red de monitoreo de deformación del volcán Sotará no registró cambios relacionados con procesos de deformación volcánica. Las estaciones GNSS mantuvieron una tendencia estable, consistente con el comportamiento observado en los últimos tres años (Figura 26a). El inclinómetro de Triángulo presenta actualmente



# Boletín mensual

un comportamiento estable, con una variación estacional atribuida principalmente a cambios de temperatura (Figura 26b).

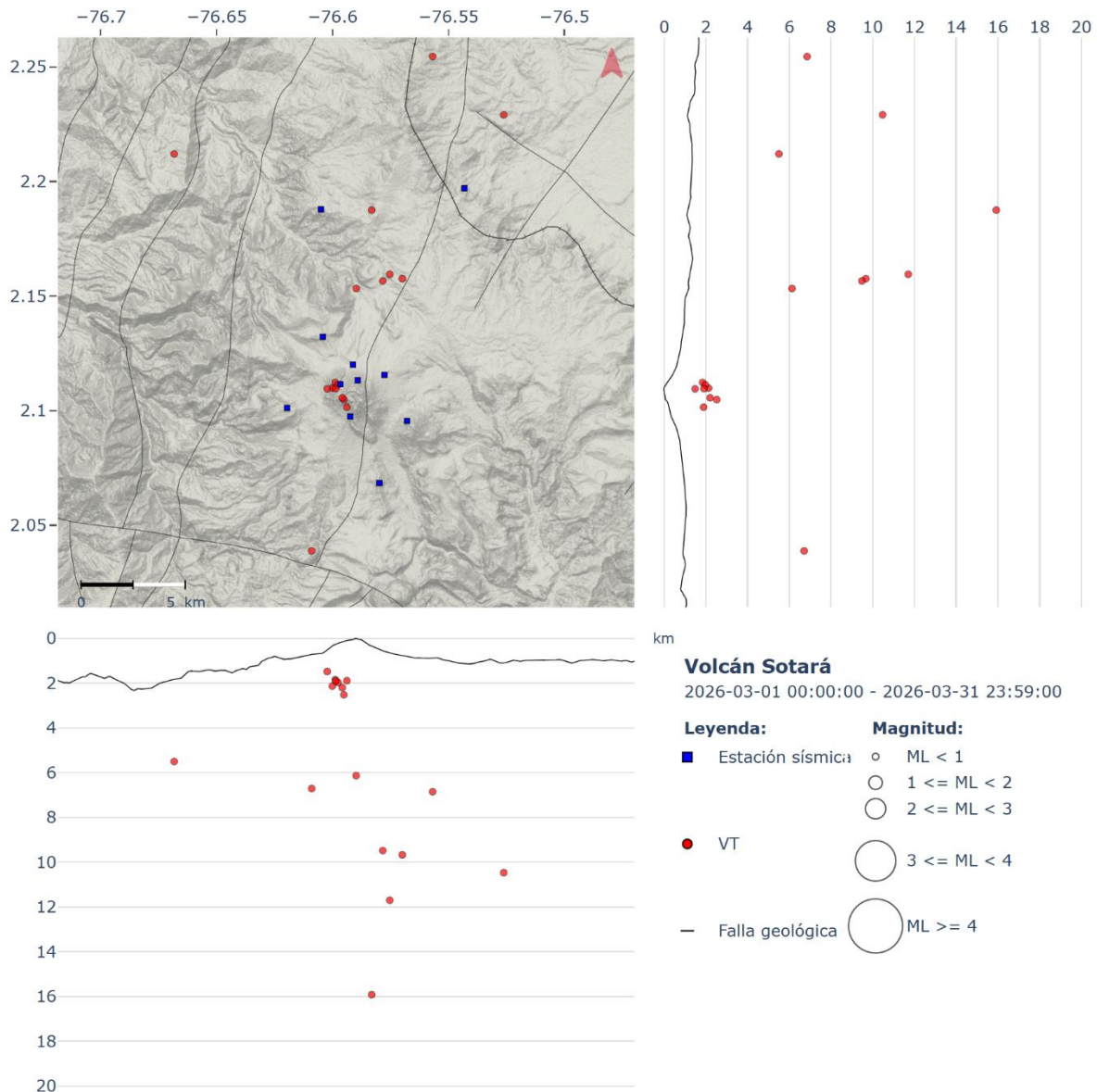


Figura 25. Mapa de localización de eventos volcano tectónicos (VT) ocurridos del 1 al 31 de marzo de 2026 en el volcán Sotará. Los círculos indican las localizaciones epicentrales e hipocentrales, cuyos tamaños varían según la magnitud calculada y los cuadros azules representan las estaciones sísmicas

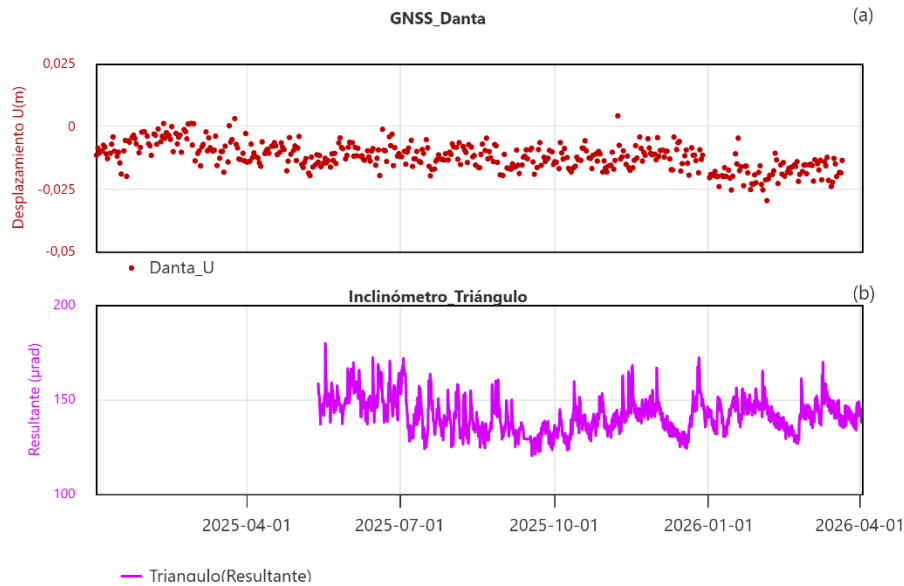


Figura 26. Serie temporal registrada entre el 1 de enero de 2025 y el 31 de marzo de 2026. a) Componente vertical estación GNSS permanente Danta. b) Resultante de las componentes Este y Norte registradas por el inclinómetro de Triángulo

Durante el mes de marzo a través de las imágenes captadas del edificio volcánico no se evidenciaron cambios morfológicos ni procesos asociados con emanaciones de gases importantes. En la Figura 27 se observan algunas imágenes destacadas del período evaluado, tomadas los días 1 y 19 de marzo.



Figura 27. Imágenes captadas por las cámaras web del volcán Sotará: Cerro Crespo y Majúas Sotará, los días 1 y 19 de marzo de 2026

Por lo anterior, el nivel de actividad del **volcán Sotará** continúa en **ALERTA AMARILLA**  **(o III)**: volcán activo con cambios en el comportamiento del nivel base de los parámetros monitoreados y otras manifestaciones.



# Boletín mensual



Durante el mes de marzo de 2026 no se registraron sismos asociados con la actividad del **volcán Sucubún**. Mediante la cámara web Majúas-Sucubún no se apreciaron cambios superficiales en el edificio volcánico.

El nivel de actividad volcánica del **volcán Sucubún** se mantiene en **ALERTA VERDE** ● (o IV): volcán activo en reposo.

El **SERVICIO GEOLÓGICO COLOMBIANO** permanece atento a la evolución del fenómeno volcánico y continuará informando de manera oportuna los cambios que se puedan presentar; asimismo, seguirá participando activamente de procesos de socialización y acompañamiento técnico a las autoridades y comunidades.

Para más información se sugiere visitar la página web en el siguiente enlace:  
<https://www.sgc.gov.co/volcanes>

**SERVICIO GEOLÓGICO COLOMBIANO**  
**DIRECCIÓN DE GEOAMENAZAS**